

Борчук Леонид

Настройка и самонастройка реляционных систем баз данных при оптимизации обработки запросов

Стоимость выполнения запроса

Стоимость в СУБД Oracle

Cost= $1/sreadtim * (\#SRds * sreadtim + \#MRds * mreadtim + \#CPUCycles / cpuspeed)$,

sreadtim – время одноблочного чтения;

mreadtim – время многоблочного чтения;

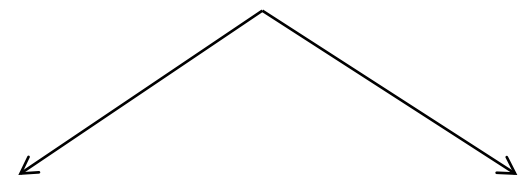
cpuspeed – количество тактов за секунду..

#SRds – количество одноблочочных чтений с диска;

#MRds – количество многоблочочных чтений с диска;

CPUCycles – количество тактов ЦПУ;

Стоимость = 5000



5 секунд на
процессоре
Intel Xeon E5430

10 секунд на
процессоре
HP PA-RISC
(PA8800)

План выполнения запроса

Пример (Матиас Ярке, Юрген Кох): служащие, предлагающие компьютерные лекции отделам географически распределенной организации.

employees (enr, ename, status, city)

papers (enr, title, year)

departments (dname, city, street address)

courses (cnr, cname, abstract)

lectures (cnr, dname, enr, daytime)

Названия отделов,
расположенных в Нью-Йорке и
предлагающих курсы по
управлению базами данных

Стратегии выполнения запроса:

Стратегия 1

1. Декартово произведение
(Стоимость 200000)

2. Фильтрация
(Стоимость 0)

Итого: 200000

Стратегия 2

1. Выполнить слияние
(Стоимость 50 + 200)

2. Отсортировать результат
(Стоимость $50*200/2.5$)

3. Выполнить слияние
(Стоимость 400+20)

4. Фильтрация
(Стоимость $50*200*2/2.5$)
Итого: 6000

Стратегия 3

1. Выполнить слияние
(Стоимость 50 + 200)

2. Фильтрация
(Стоимость 250)

3. Отсортировать результат
(Стоимость 252)

3. Выполнить слияние
(Стоимость 20)
Итого: 277

Задача настройки системы баз данных

Для обеспечения требуемого времени ответа необходимы:

- 1.Адекватные оценки стоимости.
- 2.Присутствие хотя бы одного плана выполнения с требуемым временем ответа в пространстве состояний.

Распространение ошибок оценок

Стратегия 2

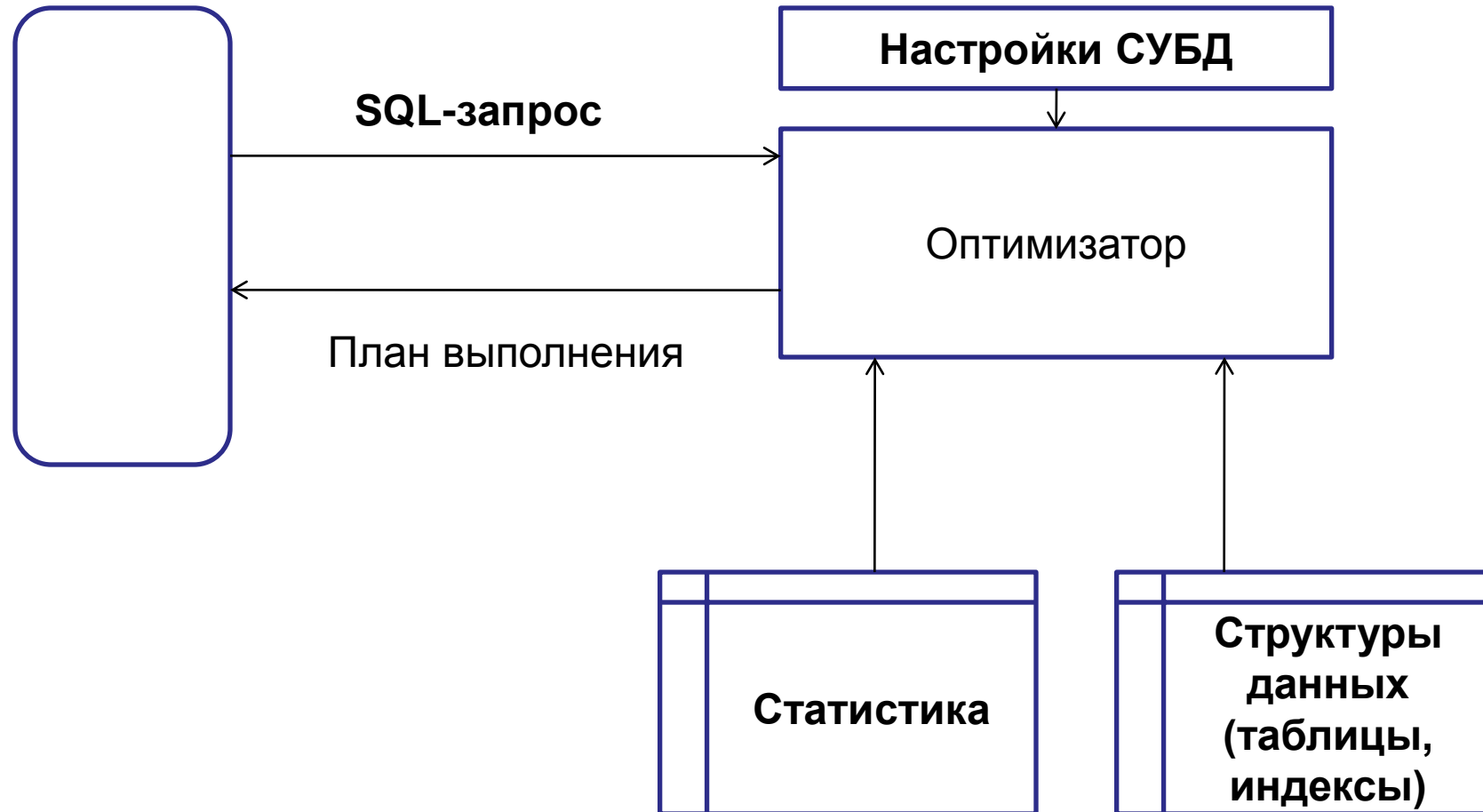
| Операция | Стоимость | Ошибочная стоимость |
|--|-------------------------------------|--|
| Слияние отношений "courses" и "lectures" | r: 50 + 200 w: $50*200/25 = 400$ | r: 50 + 100 w: $50*100/25 = 200$ |
| Отсортировать результат по dnames | r+w: $400*\log(2)400 = 3457$ | r+w: $200*\log(2)200 = 1528$ |
| Слияние с отношением "departments" | r: 400 + 20 w: 400 + 400 | r: 200 + 20 w: 200 + 200 |
| Фильтрация | r: 800 | r:400 |
| Итого (r+w) | 6000 | 2850 |

Различные варианты написания запроса

Задания второй студенческой олимпиады Oracle (21 команда)

| Задание | Количество предложенных вариантов решения |
|--|---|
| Отбор документов по ключевым словам | 15 |
| Замена пустого значения на значение из предыдущей строки | 11 |
| Мониторинг потребляемого пространства базы данных | 6 |
| Гарантированный выбор | 9 |
| Построение дерева объектов компании | 5 |
| Выбрать сотрудников с минимальным окладом | 6 |
| Посчитать сотрудников, которые никем не руководят | 8 |
| Выбор сотрудников, менявших должность без записи в историю | 9 |

Пути настройки системы баз данных



Средства настройки систем баз данных



Demo Case Plan

| Rows | card | operation |
|--------|---------|---|
| | 2 | SELECT STATEMENT |
| 2 | 2 | SORT GROUP BY |
| 6,274 | | FILTER |
| 504.6 | 13,120 | 26 HASH JOIN |
| 534.9 | 208,620 | 390 HASH JOIN |
| 1.0 | 15 | 15 TABLE ACCESS FULL PS_RETROPAYPGM_TBL |
| 858.1 | 44,621 | 52 NESTED LOOPS |
| 353.3 | 14,131 | 40 HASH JOIN |
| 1.0 | 5 | 5 TABLE ACCESS FULL PS_PAY_CALENDAR |
| 3.0 | 40,000 | 13,334 TABLE ACCESS FULL WB_JOB |
| 1.6 | 44,621 | 27,456 TABLE ACCESS BY INDEX ROWID WB_RETROPAY_EARN |
| 2.7 | 74,101 | 27,456 INDEX RANGE SCAN WBRETROPAY_EARN |
| 1.0 | 13,679 | 13,679 TABLE ACCESS FULL PS_RETROPAY_RQST |
| 9,860 | 1 | 1 SORT AGGREGATE |
| 4,930 | 1 | 1 FIRST ROW |
| 4,930 | 1 | 1 INDEX RANGE SCAN (MIN/MAX) WB_JOB |
| 20,022 | 1 | 1 SORT AGGREGATE |
| 7,750 | 1 | 1 FIRST ROW |
| 10,011 | 1 | 1 INDEX RANGE SCAN (MIN/MAX) WB_JOB |

Самонастраиваемые базы данных

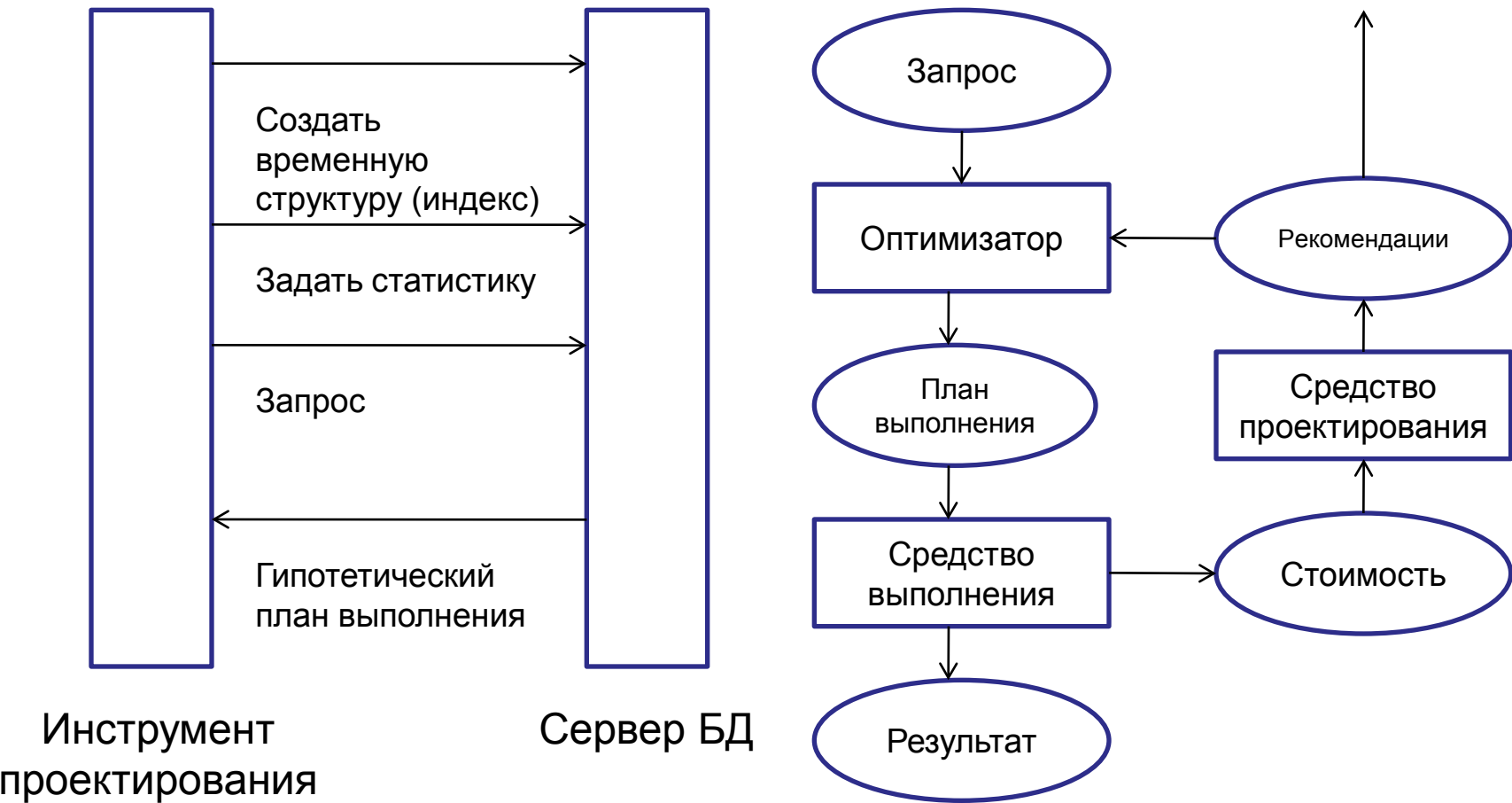
Средства автоматической настройки позволяют:

- производить выработку рекомендаций для построения индексов и материализованных представлений (по рабочей нагрузке);
- производить отбор и воспроизведение рабочей нагрузки;
- автоматически информировать о проблемах производительности;
- производить автоматическое управление статистикой;
- использовать самонастраиваемые гистограммы.

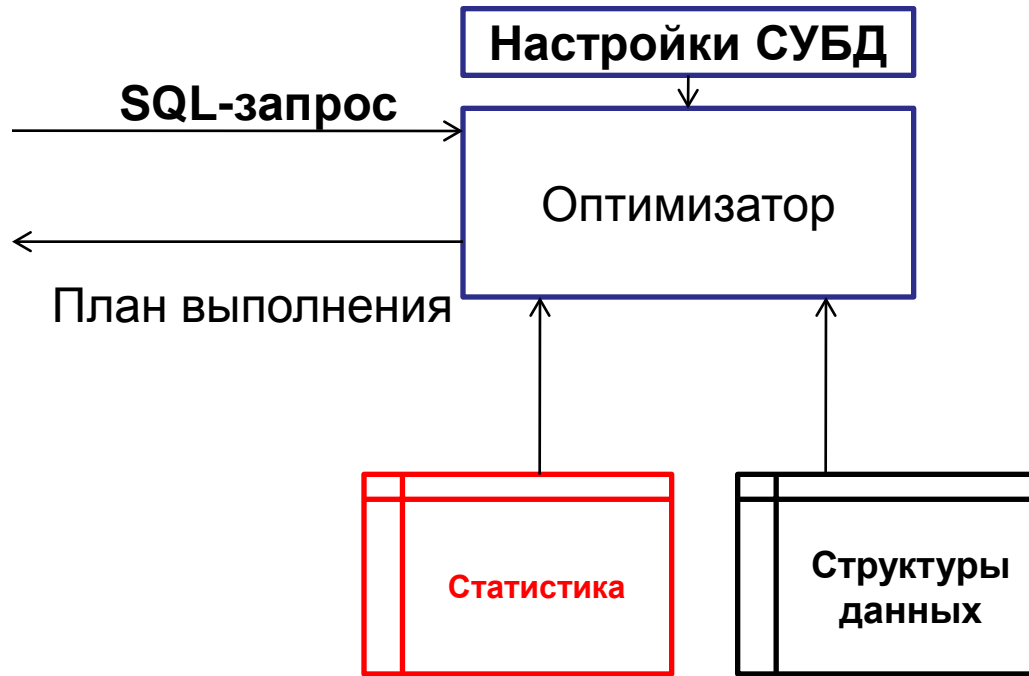
Создание индексов и других структур данных



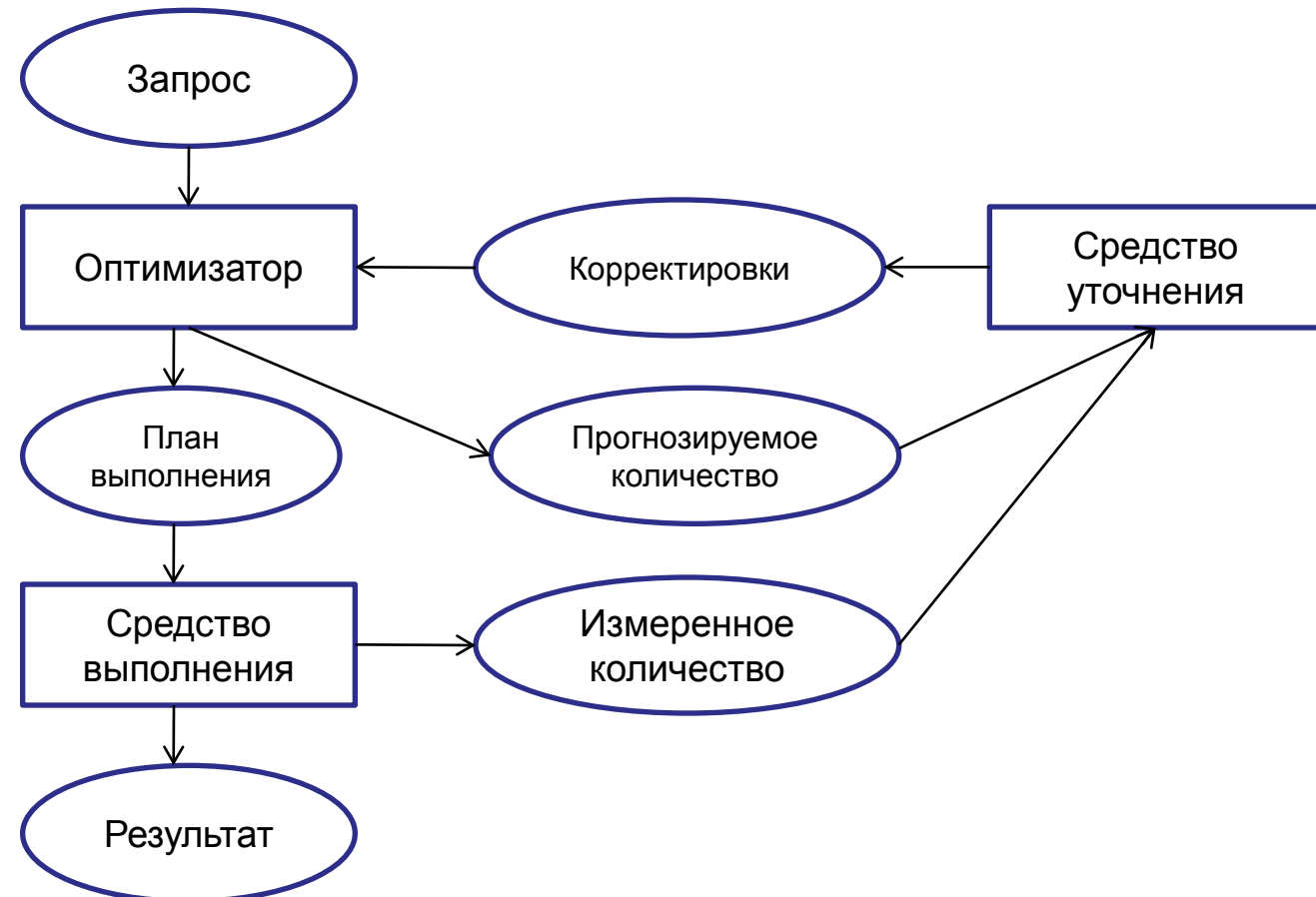
Использование инструментов автоматического проектирования



Уточнение статистики



Самонастраивающиеся гистограммы



Логические преобразования запроса



Преобразование устранение вложенности

Cost = N*100

N=1, Cost = 100

N = 100, Cost = 10 000

N = 1000, Cost = 100 000

```
Select /*+ qb_name (e1_outer) */ * from
emp e1 where
e1.hire_date > sysdate - (10*365) and
salary >
  (select/*+ qb_name (e2_inner) */
   avg(salary) from
   emp e2, dept d1
  where e1.dept_id = e2.dept_id and
        e2.dept_id = d1.dept_id and
        exists
  (select /*+ qb_name (l1_inner) */
   1 from locations l1
  where l1.location_id=d1.location_id ))
```

Cost=100

Cost = 10 000 + N

N=1, Cost = 10001

N = 100, Cost = 10 100

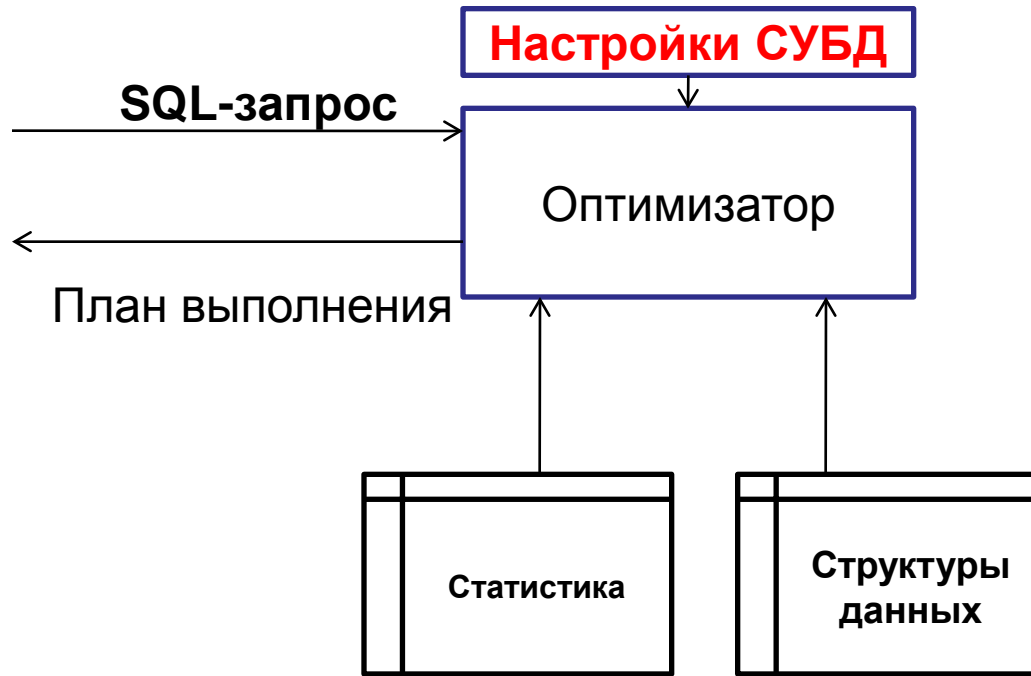
N = 1000, Cost = 11000

```
Select /*+ qb_name (e1_outer) */ * from
emp e1,
(select /*+ qb_name (e2_inner) */
  dept_id, avg(salary) avg_salary
  from emp e2, dept d1
  where e1.dept_id = e2.dept_id and
        e2.dept_id = d1.dept_id and
        exists
  (select /*+ qb_name (l1_inner) */
   1 from locations l1
  where l1.location_id=d1.location_id )
  group by dept_id ) gbp1
  where
  e1.hire_date > sysdate - (10*365) and
  e1. salary > gbp1.avg_salary
```

Преобразования запросов

1. общая факторизация подвыражений (common sub-expression factorization),
2. слияние представлений "селекция-проекция-соединение" (SPJ view merging),
3. устранение соединений (join elimination),
4. устранение вложенности подзапросов (subquery unnesting),
5. слияние представлений с группировкой (group-by (distinct) view merging),
6. упрощение группировки (group pruning),
7. перемещение предикатов (predicate move around),
8. преобразование операций над множествами в соединения (set operator into join),
9. размещение группировки (group-by placement),
10. вытягивание предиката (predicate pullup),
11. факторизация соединений (join factorization),
12. преобразование дизъюнкции в объединение (disjunction into union-all),
13. преобразование "звезды" (star transformation),
14. проталкивание предикатов соединения (join predicate pushdown).

Уменьшение количества ручек настройки



Метод анализа плана выполнения SQL-запроса, используя О-большое асимптотики для оценки стоимости

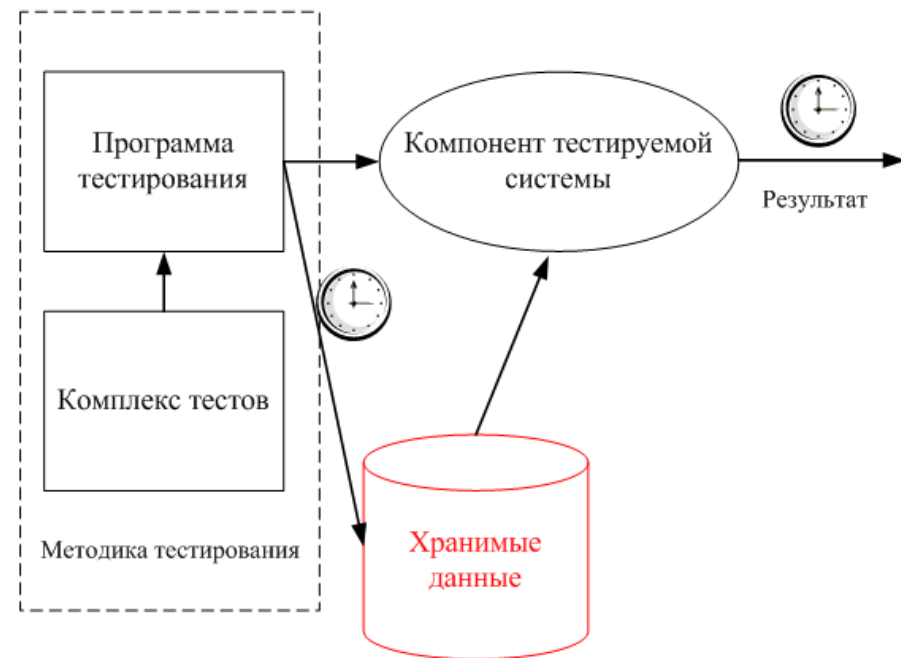
Настройка с участием администратора системы

Недостатки подходов к анализу плана выполнения

Метод экспертных оценок



Метод “серого” ящика



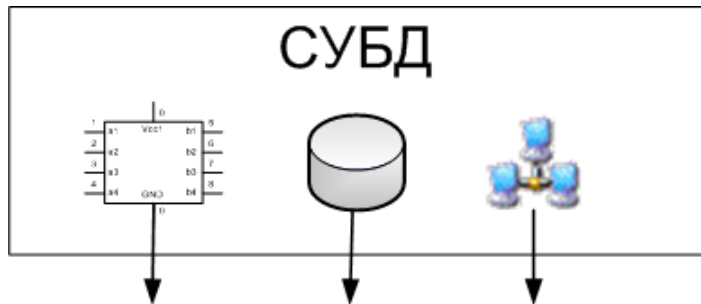
Пример: Отчет “Кредитный портфель клиента”

| Id | Operation | Name | Rows | Bytes | Cost (%CPU) | |
|----|-----------------------------|-----------------------------|-----------------|-------|-------------|--------|
| 0 | SELECT STATEMENT | | 1 | 409 | 10510 (29) | |
| 1 | SORT ORDER BY | | 1 | 409 | 10510 (29) | |
| 2 | NESTED LOOPS | | 1 | 409 | 10509 (29) | |
| 3 | NESTED LOOPS OUTER | | 1 | 375 | 10508 (29) | |
| 4 | NESTED LOOPS | | 1 | 330 | 10507 (29) | |
| 5 | VIEWS | | 1 | 290 | | |
| * | FILTER | | 1 | 367 | 10506 (29) | |
| 7 | SORT GROUP BY | | 1 | 367 | 10505 (29) | |
| 8 | NESTED LOOPS | | 1 | 326 | 10505 (29) | |
| 9 | NESTED LOOPS | | 1 | 293 | 10502 (29) | |
| 10 | NESTED LOOPS | | 4 | 1008 | | |
| 11 | VIEWS | | 4 | 844 | 10504 (82) | |
| 12 | UNION-ALL | | 1 | 41 | | |
| 13 | SORT UNIQUE | | 1 | 22 | | |
| 14 | UNION-ALL | | 1 | 98 | | |
| * | TABLE ACCESS BY INDEX ROWID | ARC_COUNT1 | 21 | 1029 | 2606 (29) | |
| 16 | NESTED LOOPS | | 20 | 540 | 2544 (29) | |
| 17 | NESTED LOOPS | | 1 | 49 | 3 (34) | |
| 18 | NESTED LOOPS | | 1 | 40 | 2 (50) | |
| 19 | NESTED LOOPS | | 1 | 33 | | |
| 20 | HASH JOIN | | 1 | 59 | 4 (25) | |
| 21 | TABLE ACCESS BY INDEX ROWID | ARC_CREDIT | 20 | 1029 | 2606 (29) | |
| 22 | NESTED LOOPS | | 1 | 53 | 3 (34) | |
| 23 | TABLE ACCESS FULL | ARC_CONTRACT | 1 | 49 | 3 (34) | |
| 24 | INDEX RANGE SCAN | ARC_CRE_STATE_NEXT2 | 1 | 40 | 2 (50) | |
| * | TABLE ACCESS FULL | ARC_PORTFOLIO | 1 | 49 | 17 (48) | |
| 26 | TABLE ACCESS BY INDEX ROWID | DIC_PORTFOLIO_TYPE | 1 | 40 | 2 (50) | |
| 27 | INDEX UNIQUE SCAN | DPT_ID | 1 | 41 | 4 (25) | |
| 28 | INDEX RANGE SCAN | DAT_CREDITCOUNTS_PRI | 1 | 33 | 3 (34) | |
| 29 | TABLE ACCESS BY INDEX ROWID | ARC_CREDIT | 1 | 59 | 4 (25) | |
| 30 | INDEX RANGE SCAN | ARC_CMS_CNT_NUM | 1 | 51 | 3 (34) | |
| 31 | INDEX RANGE SCAN | ARC_CNI_CNT_NUM | 1 | 49 | 3 (34) | |
| 32 | TABLE ACCESS BY INDEX ROWID | ARC_COUNT1 | 1 | 41 | 4 (25) | |
| 33 | NESTED LOOPS | | 1 | 184 | 2620 (28) | |
| 34 | NESTED LOOPS | | 1 | 143 | 2617 (29) | |
| 35 | NESTED LOOPS | | 1 | 103 | 2616 (29) | |
| 36 | NESTED LOOPS | | 5 | 270 | 2606 (29) | |
| 37 | TABLE ACCESS FULL | ARC_CONTRACT | 20 | 540 | 2544 (29) | |
| 38 | TABLE ACCESS BY INDEX ROWID | ARC_CREDIT | 1 | 27 | 4 (25) | |
| 39 | INDEX RANGE SCAN | ARC_CRE_STATE_NEXT2 | 1 | 53 | 3 (34) | |
| 40 | TABLE ACCESS BY INDEX ROWID | ARC_PORTFOLIO | 1 | 49 | 3 (34) | |
| * | INDEX RANGE SCAN | ARC_PRT_ID | 1 | 40 | 2 (50) | |
| 42 | TABLE ACCESS BY INDEX ROWID | DIC_PORTFOLIO_TYPE | 1 | 40 | 2 (50) | |
| 43 | INDEX UNIQUE SCAN | DPT_ID | 1 | 41 | 4 (25) | |
| 44 | INDEX RANGE SCAN | ARC_CNI_CNT_NUM | 1 | 33 | 3 (34) | |
| 45 | TABLE ACCESS BY INDEX ROWID | ARC_COUNT1 | 1 | 41 | 4 (25) | |
| 46 | NESTED LOOPS | | 1 | 158 | 2625 (29) | |
| 47 | NESTED LOOPS | | 20 | 2360 | 2561 (29) | |
| 48 | MERGE JOIN CARTESIAN | | 1 | 91 | 18 (45) | |
| 49 | NESTED LOOPS | | 1 | 51 | 17 (48) | |
| * | 50 | TABLE ACCESS FULL | ARC_PORTFOLIO | 1 | 40 | 2 (50) |
| 51 | TABLE ACCESS BY INDEX ROWID | DIC_PORTFOLIO_TYPE | 1 | 40 | 2 (50) | |
| 52 | INDEX UNIQUE SCAN | DPT_ID | 1 | 41 | 4 (25) | |
| 53 | BUFFER SORT | | 20 | 540 | 2559 (29) | |
| 54 | TABLE ACCESS FULL | ARC_CONTRACT | 20 | 540 | 2544 (29) | |
| 55 | TABLE ACCESS BY INDEX ROWID | ARC_CREDIT | 1 | 40 | 4 (25) | |
| 56 | INDEX RANGE SCAN | ARC_CRE_STATE_NEXT2 | 1 | 53 | 3 (34) | |
| 57 | INDEX RANGE SCAN | ARC_CNI_CNT_NUM | 1 | 33 | 3 (34) | |
| * | 58 | TABLE ACCESS BY INDEX ROWID | ARC_COUNT1 | 1 | 41 | 4 (25) |
| 59 | NESTED LOOPS | | 1 | 190 | 2626 (29) | |
| 60 | NESTED LOOPS | | 1 | 149 | 2623 (29) | |
| 61 | MERGE JOIN CARTESIAN | | 20 | 2300 | 2561 (29) | |
| 62 | NESTED LOOPS | | 1 | 80 | 18 (45) | |
| 63 | TABLE ACCESS FULL | ARC_PORTFOLIO | 1 | 48 | 17 (48) | |
| 64 | TABLE ACCESS BY INDEX ROWID | DIC_PORTFOLIO_TYPE | 1 | 40 | 2 (50) | |
| 65 | INDEX UNIQUE SCAN | DPT_ID | 1 | 40 | 2 (50) | |
| 66 | BUFFER SORT | | 20 | 540 | 2559 (29) | |
| 67 | TABLE ACCESS FULL | ARC_CONTRACT | 20 | 540 | 2544 (29) | |
| 68 | TABLE ACCESS BY INDEX ROWID | ARC_CREDIT | 1 | 34 | 4 (25) | |
| 69 | INDEX RANGE SCAN | ARC_CRE_STATE_NEXT2 | 1 | 33 | 3 (34) | |
| * | 70 | INDEX RANGE SCAN | ARC_CMS_CNT_NUM | 1 | 33 | 3 (34) |
| 71 | TABLE ACCESS BY INDEX ROWID | TCS_CNT_NUM | 1 | 41 | | |
| 72 | INDEX RANGE SCAN | TCS_CNT_NUM | 1 | 33 | | |
| * | 73 | TABLE ACCESS BY INDEX ROWID | ACC_COUNT | 1 | 41 | |
| 74 | INDEX RANGE SCAN | CNT_NUM | 1 | 33 | 4 (25) | |
| 75 | TABLE ACCESS BY INDEX ROWID | TMP_COUNT_SD | 1 | 41 | 3 (34) | |
| 76 | INDEX RANGE SCAN | TCS_CNT_NUM | 1 | 40 | 2 (50) | |
| 77 | TABLE ACCESS BY INDEX ROWID | DIC_PORTFOLIO_TYPE | 1 | 40 | 2 (50) | |
| 78 | INDEX UNIQUE SCAN | ID | 1 | 45 | 2 (50) | |
| * | 79 | TABLE ACCESS BY INDEX ROWID | DIC_RES_COUNTS | 1 | 45 | 2 (50) |
| 80 | INDEX UNIQUE SCAN | DRC_ID | 1 | 34 | | |
| * | 81 | TABLE ACCESS BY INDEX ROWID | DIC_DEPARTMENTS | 1 | 34 | 2 (50) |
| 82 | INDEX UNIQUE SCAN | DEP_ID | 1 | 41 | | |

| Объект | Количество строк | Размер, Мб |
|---------------------|------------------|--------------|
| ACC_COUNT | 440 227 | 1 317 |
| ARC_CREDIT | 407 961 | 1 030 |
| ARC_CONTRACT | 158 728 | 574 |
| ARC_COUNT1 | 390 914 | 334 |
| ARC_COUNT3 | 137 383 | 303 |
| ARC_CN1_CNT_NUM | 369 642 | 288 |
| CNT_NUM | 499 166 | 275 |
| ARC_CRE_STATE_NEXT2 | 410 220 | 112 |
| ARC_CN3_CNT_NUM | 138 624 | 95 |
| DAT_CREDITCOUNTS_P | 84 505 | 58 |
| ARC_PORTFOLIO | 793 | 2 |
| DIC_DEPARTMENTS | 87 | 0 |
| DIC_PORTFOLIO_TYPE | 14 | 0 |
| DPT_ID | 14 | 0 |
| TCS_CNT_NUM | 0 | 0 |
| DRC_ID | 65 | 0 |
| DEP_ID | 87 | 0 |
| ARC_PRT_ID | 793 | 0 |
| DIC_RES_COUNTS | 65 | 0 |
| TMP_COUNT_SD | 0 | 0 |
| Итого | 3 039 288 | 4 388 |

Настройка с участием администратора системы

Объект и предмет исследования



Объект: процесс настройки системы баз данных

Предмет: стоимость выполнения запросов пользователей

Цель: сокращение сроков настройки системы баз данных на основе разработки метода анализа плана выполнения запроса, позволяющего определить стоимость выполнения запроса от параметров системы.

Новые результаты

1. Способ построения модели на основе свойств O -большое асимптотических оценок стоимости выполнения SQL запросов в зависимости от значимых параметров системы
2. Рекомендации по применению предложенной модели стоимости, учитывающие особенности предметной области и цели настройки.
3. Программный комплекс реализации системы тестирования запросов, используя предложенный метод анализа плана выполнения и гипотезу о стабильности поведения системы.

Условные обозначения

X – Стоимость

t – номер параметра модели (количество строк)

A – идентификатор левого операнда операции (например, чтение индекса)

B – идентификатор правого операнда операции (например, сканирование таблицы)

$$w = F(w_A, w_B), \quad w \in Q \setminus P, \quad w_A, w_B \in Q$$

$D(w_A)$ – вектор характеристик левого операнда-отношения w_A

$D(w_B)$ – вектор характеристик правого операнда-отношения w_B

$$D(w) = \begin{pmatrix} X \\ D_t(w) \end{pmatrix}$$

$$X = \Psi_w(D_t(w))$$

Способ построения модели стоимости

$$\Psi_w = O(g(D(w_A), D(w_B)))$$

$$\Psi_w \leq C \cdot g(D(w_A), D(w_B))$$

$$\min_{C \in R^+} \sum_i (C \times g(D(w_A), D(w_B)) - X_i)^2$$

X_i – статистика выполнения запроса

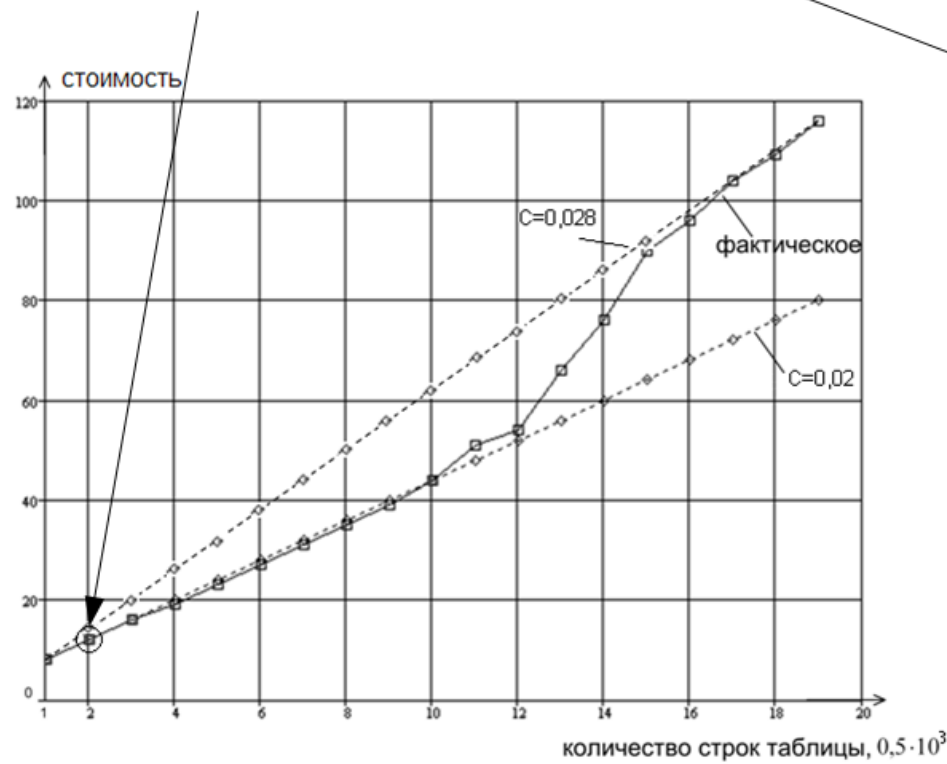
Гипотеза о стабильности поведения системы: если математическая модель адекватна на границе области изменения параметров, то она адекватна всюду внутри области изменения параметров.

Пример: стоимость полного сканирования таблицы

```
SQL> SELECT * FROM hr.operative_data od;
```

Execution Plan

| Id Operation | Name | Rows | Cost (%CPU) | Time |
|--|------|------|-------------|------|
| 0 TABLE ACCESS FULL OPERATIVE_DATA 1000 20 (1) 00:00:03 | | | | |



$$g = n_R$$

$$\Psi_w = C \cdot n_R$$

$$C = \frac{20}{1000}$$

$$D(w) = \begin{pmatrix} 0,02n_R \\ n_R \end{pmatrix}$$

Пример: соединение вложенными циклами

Алгоритм соединения блоками с использованием вложенных циклов

```
// Дано: Отношение внешнего цикла R
// Количество кортежей  $N_R(R)$  отношения R
// Отношение внутреннего цикла S
// Количество кортежей  $N_{S|R_i}(S)$  отношения S, участвующие в
// операции при условии, что выбран кортеж  $R_i$  отношения R
// Процедура чтения кортежа read_tuple

For  $R_i=1$  to  $N_R(R)$  {
    Rtuple = read_tuple(R,  $R_i$ )
    For  $S_i=1$  to  $N_{S|R_i}(R)$  {
        Stuple = read_tuple(S,  $S_i$ )
        If Rtuple == Stuple then
            <поместить кортеж
            в новое отношение>
    }
}
```

N_R
A
 N_S
B
D
E

$$\Psi_{w_i} = N_R(A + N_S(B + D + E))$$

$$\Psi_{w_i} = O(N_R \times N_S)$$

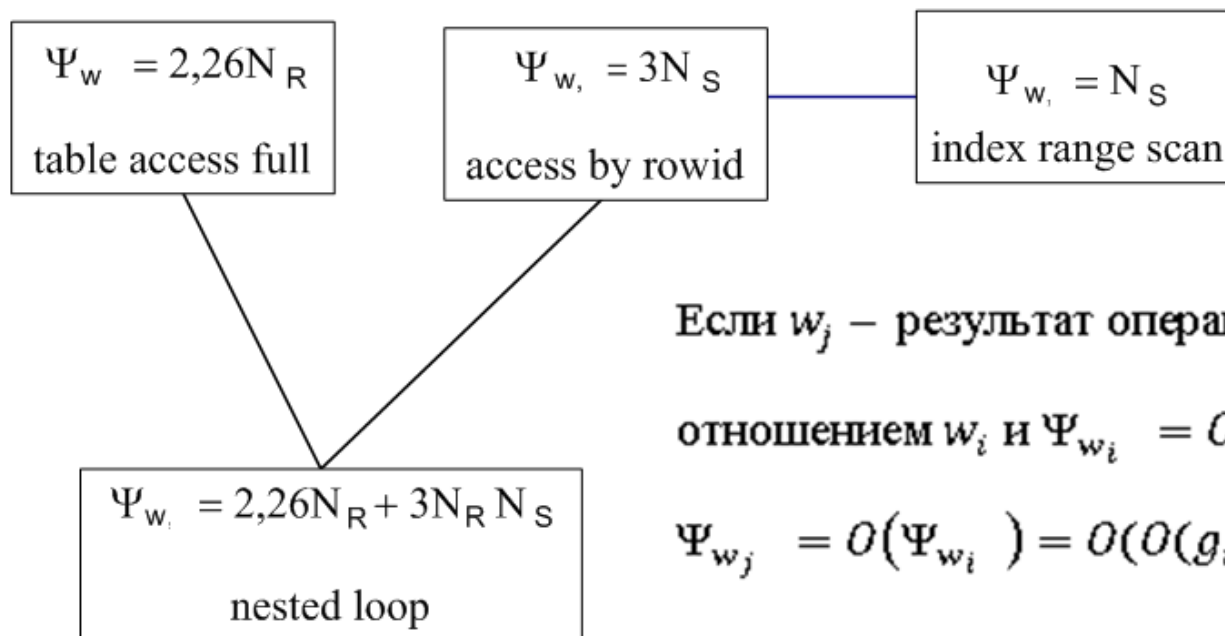
$$\exists C: \Psi_{w_i} \leq C \times N_R N_S$$

Известно значение Ψ_{w_i} для
текущего значения N_R и N_S

$$C = \frac{\Psi_{w_i}}{N_R \times N_S}$$

Пример: соединение вложенными циклами

| Стоимость | Строк | Операция |
|-----------|-------|-----------------------------|
| 526 | 113 | Select statement |
| 526 | 113 | nested loops |
| 226 | 100 | table access full |
| 3 | 1 | table access by index rowid |
| 1 | 1 | index range scan |



Если w_j – результат операции над производным
отношением w_i и $\Psi_{w_i} = O(g_i(n_i))$, то
 $\Psi_{w_j} = O(\Psi_{w_i}) = O(O(g_i(n_i))) = O(g_i(n_i))$.

Пример: решение 1

```
SELECT t_page.page_id, t_page.content
FROM t_page
, (SELECT COUNT(kw_id) AS cnt, page_id
  FROM t_kw_on_page
 WHERE kw_id IN (1,2,3)
 GROUP BY page_id) T1
WHERE T1.cnt = 3
AND t_page.page_id = T1.page_id;
```

$$\Psi = 2 + 1,462 \times n \times 10^{-5} + 7400 \times m \times 10^{-5}$$

Execution Plan

Plan hash value: 1061824386

| Id | Operation | Name | Rows | Bytes | Cost (%CPU) | Time |
|----|-------------------|-----------------|------|-------|-------------|----------|
| 0 | SELECT STATEMENT | | 10 | 240 | 19 (11) | 00:00:01 |
| * | HASH JOIN | | 10 | 240 | 19 (11) | 00:00:01 |
| 2 | VIEW | | 10 | 130 | 15 (7) | 00:00:01 |
| * | FILTER | | | | | |
| 4 | HASH GROUP BY | | 10 | 60 | 15 (7) | 00:00:01 |
| 5 | INLIST ITERATOR | | | | | |
| * | INDEX RANGE SCAN | T_KW_ON_PAGE_PK | 2997 | 17982 | 14 (0) | 00:00:01 |
| 7 | TABLE ACCESS FULL | T_PAGE | 999 | 10989 | 3 (0) | 00:00:01 |

Predicate Information (identified by operation id):

```
1 - access("T_PAGE"."PAGE_ID"="T1"."PAGE_ID")
3 - filter(COUNT(*)=3)
6 - access("KW_ID"=1 OR "KW_ID"=2 OR "KW_ID"=3)
```

Пример: решение 2

```
SELECT * FROM t_page
WHERE page_id IN
  (SELECT page_id
   FROM (SELECT COUNT(kw_id) AS c,
               page_id
        FROM t_kw_on_page
       WHERE kw_id IN
             (SELECT kw_id
              FROM t_keyword
              WHERE keyword='tag 1')
        OR kw_id IN
             (SELECT kw_id
              FROM t_keyword
              WHERE keyword='tag 2')
        OR kw_id IN
             (SELECT kw_id
              FROM t_keyword
              WHERE keyword='tag 3'))
   GROUP BY page_id)
WHERE c > 2);
```

Execution Plan

| Id | Operation | Name | Rows | Bytes | Cost (%CPU) | Time |
|----|--------------------------------|--------------|------|-------|-------------|---------------|
| 0 | SELECT STATEMENT | | 50 | 1200 | 501 | (17) 00:00:07 |
| * | 1 HASH JOIN RIGHT SEMI | | 50 | 1200 | 501 | (17) 00:00:07 |
| 2 | VIEW | VW_NSO_1 | 50 | 650 | 498 | (18) 00:00:06 |
| * | 3 FILTER | | | | | |
| 4 | HASH GROUP BY | | 50 | 300 | 498 | (18) 00:00:06 |
| * | 5 FILTER | | | | | |
| 6 | TABLE ACCESS FULL | T_KW_ON_PAGE | 998K | 5847K | 431 | (5) 00:00:06 |
| * | 7 TABLE ACCESS BY INDEX ROWID | T_KEYWORD | 1 | 10 | 2 | (0) 00:00:01 |
| * | 8 INDEX UNIQUE SCAN | SYS_C0028821 | 1 | | 1 | (0) 00:00:01 |
| * | 9 TABLE ACCESS BY INDEX ROWID | T_KEYWORD | 1 | 10 | 2 | (0) 00:00:01 |
| * | 10 INDEX UNIQUE SCAN | SYS_C0028821 | 1 | | 1 | (0) 00:00:01 |
| * | 11 TABLE ACCESS BY INDEX ROWID | T_KEYWORD | 1 | 10 | 2 | (0) 00:00:01 |
| * | 12 INDEX UNIQUE SCAN | SYS_C0028821 | 1 | | 1 | (0) 00:00:01 |
| 13 | TABLE ACCESS FULL | T_PAGE | 999 | 10989 | 3 | (0) 00:00:01 |

Predicate Information (identified by operation id):

- 1 - access("PAGE_ID"="\$nso_col_1")
- 3 - filter(COUNT(*)>2)
- 5 - filter(EXISTS (SELECT 0 FROM "T_KEYWORD" "T_KEYWORD" WHERE "KW_ID"=:B1 AND "KEYWORD"='tag 1') OR EXISTS (SELECT 0 FROM "T_KEYWORD" "T_KEYWORD" WHERE "KW_ID"=:B2 AND "KEYWORD"='tag 2') OR EXISTS (SELECT 0 FROM "T_KEYWORD" "T_KEYWORD" WHERE "KW_ID"=:B3 AND "KEYWORD"='tag 3'))
- 7 - filter("KEYWORD"='tag 1')
- 8 - access("KW_ID"=:B1)
- 9 - filter("KEYWORD"='tag 2')
- 10 - access("KW_ID"=:B1)
- 11 - filter("KEYWORD"='tag 3')
- 12 - access("KW_ID"=:B1)

$$\Psi = 49,94 \times n \times 10^{-5} + 300 \times m \times 10^{-5}$$

Пример: анализ на основе значимого показателя

Решение 1

```
SELECT t_page.page_id, t_page.content
FROM t_page
, (SELECT COUNT(kw_id) AS cnt, page_id
  FROM t_kw_on_page
  WHERE kw_id IN (1,2,3)
  GROUP BY page_id) T1
WHERE T1.cnt = 3
AND t_page.page_id = T1.page_id;
```

Решение 2

```
SELECT * FROM t_page
WHERE page_id IN
(SELECT page_id
FROM (SELECT COUNT(kw_id) AS c,
page_id
FROM t_kw_on_page
WHERE kw_id IN
(SELECT kw_id
FROM t_keyword
WHERE keyword='tag 1')
OR kw_id IN
(SELECT kw_id
FROM t_keyword
WHERE keyword='tag 2')
OR kw_id IN
(SELECT kw_id
FROM t_keyword
WHERE keyword='tag 3'))
GROUP BY page_id)
WHERE c > 2);
```

$$\Psi_{\text{решение 1}} = 16 + 7400 \times m \times 10^{-5}$$

$$\Psi_{\text{решение 2}} = 3 + 49,94 \times n \times 10^{-5}$$

| Номер решения | Модель стоимости | Модель по критерию значимости показателя | Значимый показатель | Коэффициент при показателе |
|---------------|---------------------------------------|---|---------------------|----------------------------|
| 1 | $2 + (1,462n + 7400m) \times 10^{-5}$ | r:90 n:76+1,462n*10 ⁻⁵ m:16 + 7400m*10 ⁻⁵ | m | 7400×10^{-5} |
| 2 | $(49,94n + 300m) \times 10^{-5}$ | r:501 n:3+49,94n*10 ⁻⁵ m:498 + 300m*10 ⁻⁵ | n | $49,94 \times 10^{-5}$ |

Пример: анализ на основе параметрических моделей

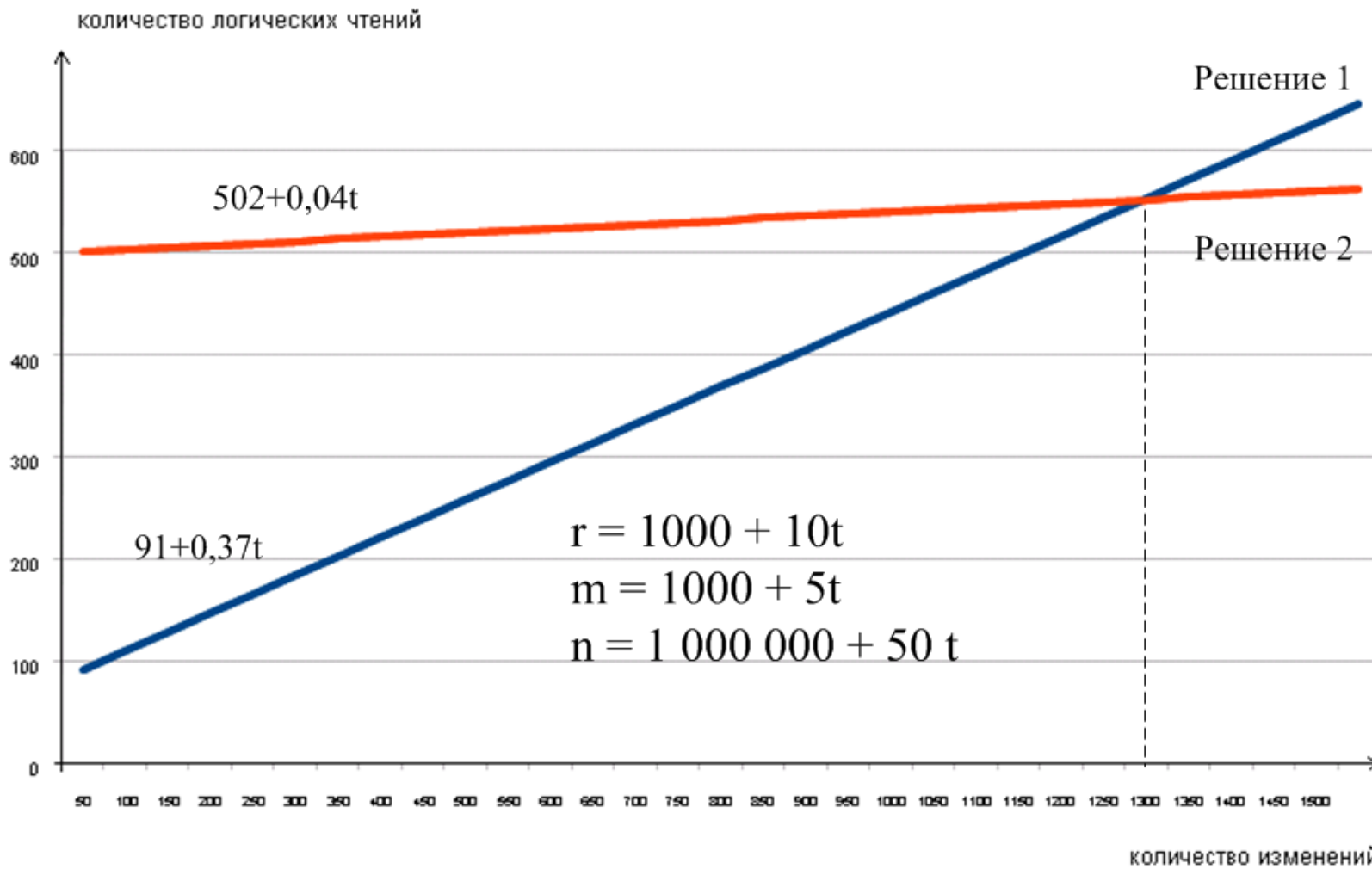
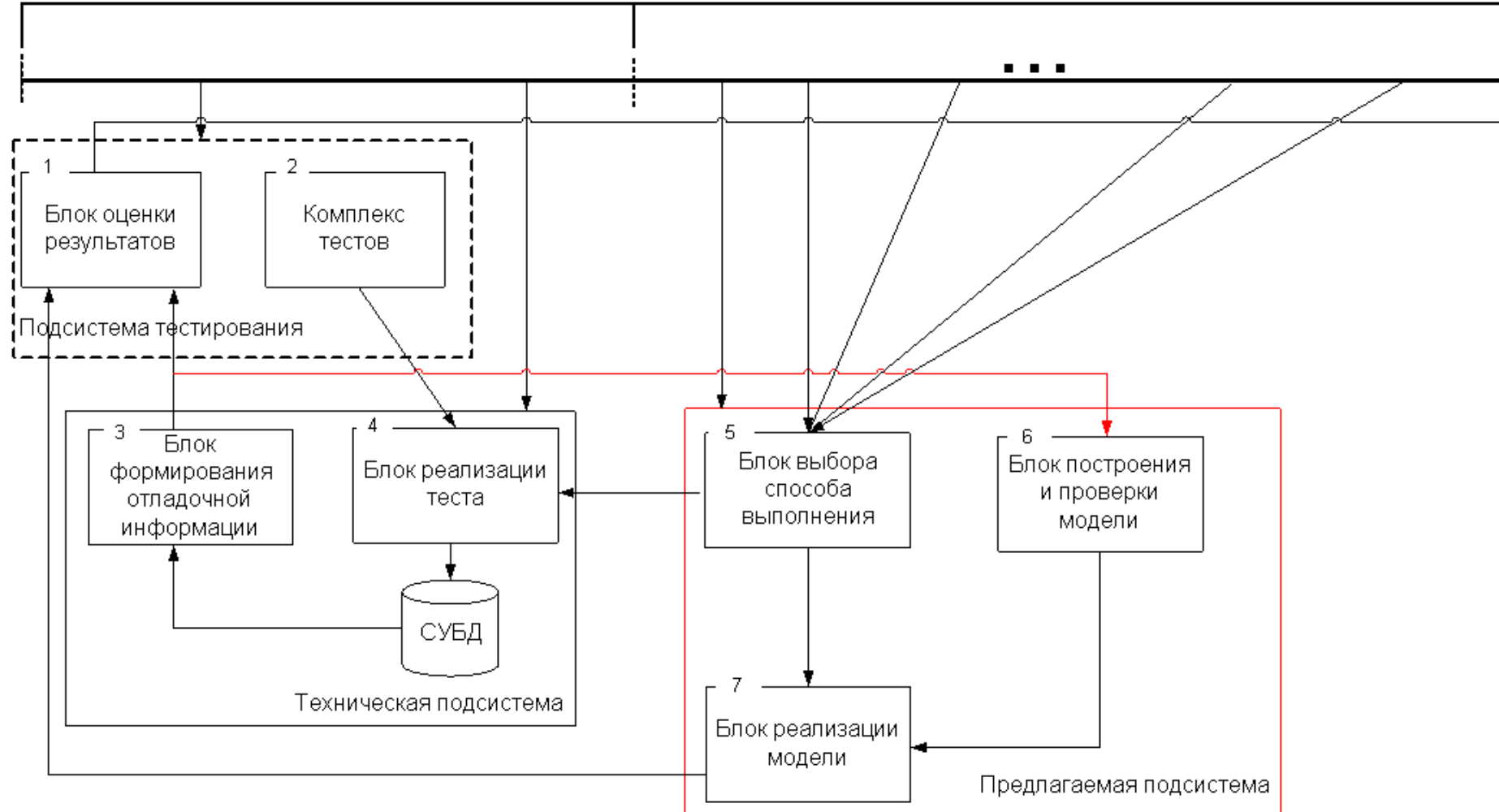


Схема нагрузочного тестирования

55-45

Выбор стратегии тестирования плана

Оценка результатов



Пример. Отчет “кредитный портфель клиента”

Параметры:

n_{AC} – количество договоров, по которым возможно предоставление кредита;

r_{AC_PRI} – количество связанных с договором обязательств;

n_{AP} – количество типов договоров;

r_{CN1_NUM} – количество связанных с договором внутрибанковских счетов;

r_{CN3_NUM} – количество связанных с договором пассивных счетов;

r_{CNT_NUM} – количество контрагентов по договору.

Модели затрат ресурсов, определенные по критерию значимости статистического показателя:

| Показатель | Модель |
|----------------|------------------------------|
| n_{AC} | $0,39 + 6,06n_{AC}$ |
| r_{AC_PRI} | $80996 + 32169r_{AC_PRI}$ |
| n_{AP} | $658957 + 76,46n_{AP}$ |
| r_{CN1_NUM} | $637773 + 10974r_{CN1_NUM}$ |
| r_{CN3_NUM} | $641694 + 9014r_{CN3_NUM}$ |
| r_{CNT_NUM} | $644742 + 14980r_{CNT_NUM}$ |

Модель запроса:

$$\begin{aligned}\Psi_{\text{общая}} = & (60,64n_{AC} + 13,76n_{AC}r_{CNT_NUM} + 27,41n_{AC}r_{AC_PRI} + 3,9n_{AP} + 0,39 \\ & \times 10^{-2}n_{AC}r_{AC_PRI}n_{AP} + 0,56n_{AC}r_{AC_PRI}r_{CN1_NUM} \\ & + 0,46n_{AC}r_{AC_PRI}r_{CN3_NUM}) \times 10^{-2}\end{aligned}$$

Пример. Отчет “кредитный портфель клиента”

Рекомендации:

```
WITH credit view AS
  ( SELECT curr_credit.* , prt_id , prt_name , prt_dpr_id , prt_dep_id , prt_crt_tpr , prt_dpt_id , prt_risk_rate , prt_prcbad_res_cnt , prt_prcbad_res_vir , prt_prc_res_vir , prt_prc_res_cnt , prt_tax_res_cnt , prt_tax_res_vir , prt_fine_res_cnt , prt_fine_res_vir
    FROM curr_portfolio , curr_credit , acc_contract
   WHERE prt_deleted = 0
     AND cre_prt_id = prt_id
     AND con_id = cre_con_id
     AND con_dt_end > :p_buh_date)
```

Модель запроса:

$$\Psi_{\text{общая}} = (25,77n_{AC} + 54,6n_{AP} + 0,947n_{CRC} + 6,21n_{CN3} + 34,66n_{AC}r_{CN1_NUM} + 32,96n_{AC}r_{CNT_NUM}) \times 10^{-2}$$

Модели затрат ресурсов, определенные по критерию значимости статистического показателя

| Показатель | Модель |
|----------------|------------------------------|
| n_{AC} | $4587 + 1,28n_{AC}$ |
| n_{CRC} | $143349 + 0,00947n_{CRC}$ |
| n_{AP} | $144101 + 54,6n_{AP}$ |
| r_{CN1_NUM} | $68602 + 37780r_{CN1_NUM}$ |
| n_{CN3} | $140283 + 0,0621n_{CN3}$ |
| r_{CNT_NUM} | $108235 + 35926r_{CNT_NUM}$ |

Модели затрат ресурсов, определенные по критерию значимости производного отношения

| Операция | Модель | Результат применения оператора L | Позиция по критерию значимости |
|---|---|----------------------------------|--------------------------------|
| NESTED LOOPS | $32,96n_{AC}r_{CNT_NUM} \times 10^{-2}$ | $32,96n_{AC} \times 10^{-2}$ | 1 |
| TABLE ACCESS BY INDEX ROWID (CBRW23439) | $(0,542n_{AC} + 0,947n_{CRC} + 6,21n_{CN3} + 20,49n_{AC}r_{CN1_NUM}) \times 10^{-2}$ | $22,6n_{AC} \times 10^{-2}$ | 2 |
| NESTED LOOPS | $(0,542n_{AC} + 0,947n_{CRC} + 6,21n_{CN3} + 9,19n_{AC}r_{CN1_NUM}) \times 10^{-2}$ | $18,38n_{AC} \times 10^{-2}$ | 3 |
| NESTED LOOPS | $(0,542n_{AC} + 5,14n_{AC}r_{CN1_NUM}) \times 10^{-2}$ | $10,28n_{AC} \times 10^{-2}$ | 4 |
| TABLE ACCESS BY INDEX ROWID (CBRW23439) | $(0,542n_{AC} + 8,04n_{AC}r_{CN1_NUM}) \times 10^{-2}$ | $5,8n_{AC} \times 10^{-2}$ | 5 |
| NESTED LOOPS | $(0,542n_{AC} + 2,38n_{AC}r_{CN1_NUM}) \times 10^{-2}$ | $5,76n_{AC} \times 10^{-2}$ | 6 |
| TABLE ACCESS BY INDEX ROWID (CBRW23439) | $(0,542n_{AC} + 3,56n_{AC}r_{CN1_NUM}) \times 10^{-2}$ | $2,34n_{AC} \times 10^{-2}$ | 7 |
| TABLE ACCESS BY INDEX ROWID (CBRW23439) | $(0,542n_{AC} + 2,57n_{AC}r_{CN1_NUM}) \times 10^{-2}$ | $2,58n_{AC} \times 10^{-2}$ | 8 |

Модель запроса:

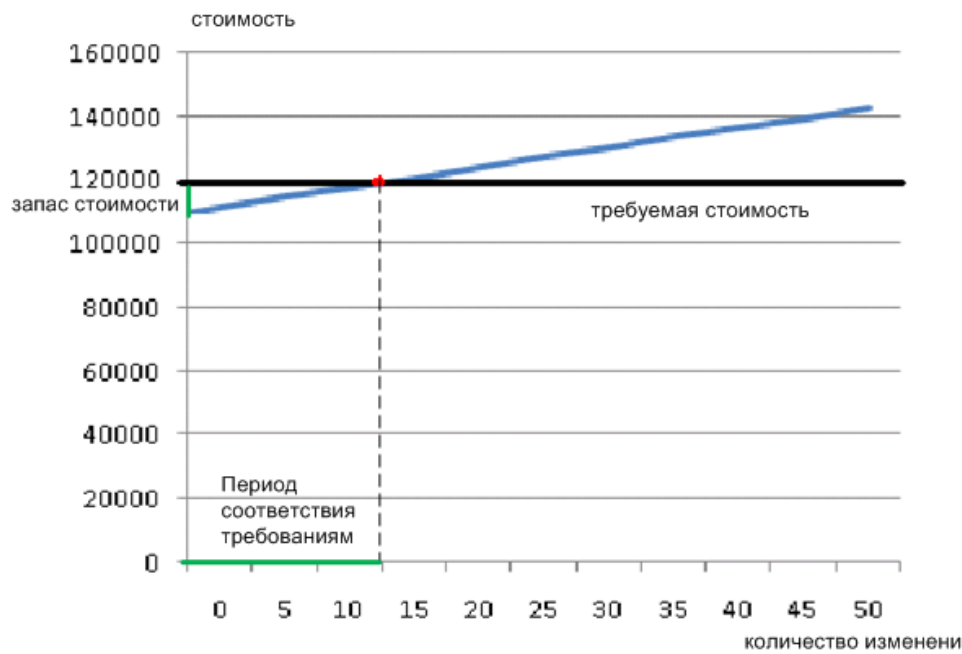
$$\Psi_{\text{общая}} = (25,77n_{AC} + 54,6n_{AP} + 0,947n_{CRC} + 6,21n_{CN3} + 34,66n_{AC}r_{CN1_NUM} + 0,858n_{AC}r_{CNT_NUM}) \times 10^{-2},$$

Пример. Отчет “кредитный портфель клиента”

Размер тестовых данных

Название таблицы Значение параметра

| | |
|--------------|-------------------|
| curr_credit | $n_{AC} = 108865$ |
| curr_credit1 | $n_{AC} = 217730$ |
| ... | ... |



Создание системы заданий

40 минут

Создание тестовых данных

60 минут

Проведение нагрузочного
тестирования

5 минут (90 минут)

$$\Psi_{\text{общая}}(t) = 111811 + 621 \times t,$$

$$\Psi_{\text{общая}}(t) < 120\,000.$$

Основные результаты

1. Для изучения стоимости на основе свойств асимптотических оценок предложено использовать гипотезу стабильности поведения системы.
2. В интересах сокращения количества учитываемых параметров разработан способ построения модели стоимости на основе свойств O -большое асимптотических оценок, позволяющий перейти от рекурсивного способа вычисления стоимости к замкнутому.
3. На основе разработанной модели стоимости определены:
 - 3.1. показатели значимых параметров, позволяющие производить ранжирование операций или параметров и тем самым сократить переборные схемы анализа;
 - 3.2. параметрические модели, позволяющие экстраполировать результаты тестовых испытаний на основе имеющихся данных.